

# DAS SPECTRUM DES BROM

VON

J. M. EDER UND E. VALENTA.

(Mit 1 Doppeltafel, 2 Tafeln und 2 Textfiguren.)

(VORGELEGT IN DER SITZUNG AM 6. JULI 1899.)

Im Anschlusse an unsere Untersuchung und Messungen des Chlorspectrums (Denkschriften d. kais. Akad. der Wissensch. Wien, 1899, mathem. naturw. Cl., Bd. 68) studirten wir auch dasjenige des Broms unter ähnlichen Bedingungen.

Die ersten Beobachtungen über das Linienemissionsspectrum des Bromdampfes in Vacuumröhren unter dem Einflusse elektrischer Entladungen machte Plücker.<sup>1</sup> Später verfolgte er seine Beobachtungen gemeinschaftlich mit Hittdorf und beide fanden, dass Brom beim Durchschlagen des Funkens eines Ruhmkorff'schen Inductoriums nur ein Linienspectrum (»Spectrum I. Ordnung«) gibt.

Sie beobachteten dasselbe mittels eines Prismenspectroskopes und gaben eine lithographische Abbildung des Bromspectrum, welche sehr anschaulich ist und deshalb in Fig. 1 (S. 2) von uns auf photographischem Wege reproducirt wurde.

Plücker und Hittdorf konnten ein mit dem Absorptionsspectrum des Broms correspondirendes umgekehrtes Spectrum im Emissionsspectrum bei niedrigen Temperaturen nicht sehen, obschon sie es »entsprechend der Theorie« erwartet hatten. Später beschäftigte sich Salet mit dem Spectrum des Broms. Salet wies nach, dass sowohl Brom- als Joddampf sich durch Erhitzen der betreffenden Röhren, in denen sie eingeschlossen sind, von Aussen zum Leuchten bringen lassen.<sup>3</sup> Wird Bromdampf in die Wasserstoffflamme eingeführt, so tritt eine Gelbfärbung auf, die Leuchtgasflamme wird grünlichgelb gefärbt. Salet<sup>4</sup> sagt weiters: die Röhren, in denen der Bromdampf bei gewöhnlicher Temperatur eingeschlossen ist, geben unter Benützung des durch Leydener Flaschen verstärkten Funkens ein gelbes Licht und ein Linienspectrum. Bei Anwendung eines Inductoriums mit grober Wickelung ohne Condensator erhält man einen wolkigen geradlinigen Funken, welcher von einer weniger leuchtenden feuerfarbigen Hülle umgeben ist. Die Wirkung tritt besonders hervor, wenn sich die negative Elektrode, welche heisser als die positive ist, unter der letzteren befindet, indem dann die Funkenbahn von einer Säule heissen aufsteigenden Gases umgeben ist. Vermindert man die Strommenge durch theilweises Herausziehen der Zinkplatten der einzelnen Elemente der galvanischen Batterie, welche den Strom liefert, aus der Flüssigkeit, so wird der Funke rein und seine Bahn gebogen und bietet dasselbe Bild wie dasjenige einer Holtz'schen Maschine.

<sup>1</sup> Poggend. Annal. d. Phys. u. Chem. 1859, Bd. 107, S. 527.

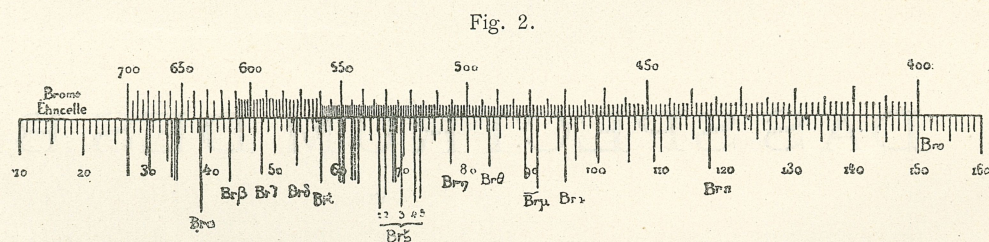
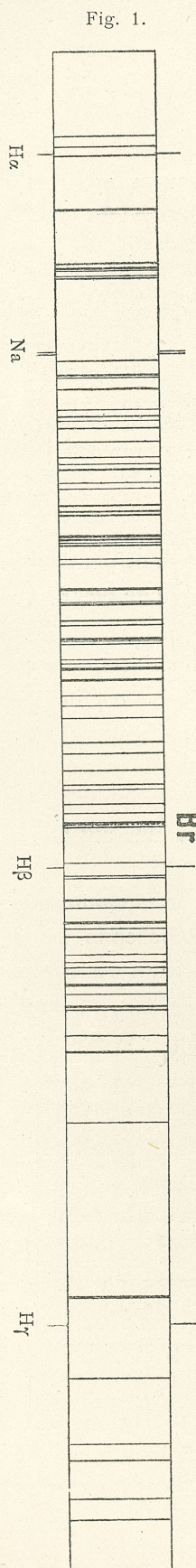
<sup>2</sup> Plücker & Hittdorf: Philos. Transactions 1865, S. 24.

<sup>3</sup> Annal. de Chim. 1873 [4.] Bd. 28, S. 26. — Kayser, Lehrb. d. Spectralanalyse 1883, S. 241.

<sup>4</sup> Salet, Traité élémentaire de Spectroscopie, Paris 1888, p. 189. — Mit ähnlicher geringer Dispersion arbeitete A. De Gramont bei seinen Untersuchungen »Spectres de dissociation des sels fondus, Metalloides-Chlor, Brom, Jode (Annales de Chimie et de Physique. 7<sup>e</sup> Serie, Bd. X, Februar 1897).



Im ersteren Falle beobachtet man (nach Salet) im Spectrum die Linien  $\alpha$  und  $\beta$  (Fig. 2), fast nur von rothen Streifen begleitet. Diese Erscheinung der leuchtenden Aureole gibt ein continuirliches Spectrum; dies rührt von dem zur Rothgluth erhitzten Bromdampfe her.



Im zweiten Falle treten die brechbaren Linien sehr scharf auf und man erhält das den hohen Temperaturen entsprechende Spectrum. Es wird in diesem Falle zwar weniger Wärme frei, aber dieselbe vertheilt sich auf eine kleinere Gasmenge.

Die von Salet ermittelten Wellenlängen, welche wir in unserer Tabelle abgedruckt haben, sind wenig genau.

Die ersten eingehenden Versuche über den Einfluss der Dichte und Temperatur des Bromdampfes auf das Spectrum desselben verdanken wir Ciamician.<sup>1</sup> Er fand, dass je nach dem Grade der Verdünnung verschiedene Spectren erhalten werden. Wird die Temperatur stark erhöht, so erhält man das Spectrum Taf. I, Fig. 1. Dieses Spectrum zeigt gewisse Eigenthümlichkeiten bezüglich des rothen Theiles.

Bei gewöhnlicher Temperatur und dem dieser entsprechendem Drucke zeigt das Brom im rothen Felde ausser der Liniengruppe  $A'$  (Fig. 3) zwei intensive Linien  $a$  und  $b$ . Diese Linien werden mit fortschreitender Verdünnung immer schwächer. Bei einem Drucke von 10 mm sind sie noch vorhanden, bei weiterer Verdünnung werden sie sehr schwach und es tauchen nach Ciamician zwei neue Linien  $\mu$  und  $\nu$  auf.

Das Spectrum des Bromdampfes bei jener Dichte, welche er bei gewöhnlicher Temperatur besitzt, unterscheidet sich von demjenigen des stark verdünnten Dampfes auch noch durch das gänzliche Zurücktreten der Gruppe  $D'$ , während von der Gruppe  $D''$  noch die Linie  $m$  zurückbleibt (Taf. I, Fig. 2).

Vergrößert man die Dichte durch langsames Erhitzen des Rohres, so treten namentlich im grünen Felde folgende Erscheinungen auf: die Linien  $d$ ,  $e$  und  $f$ , die in den Spectren des verdünnten Dampfes sehr intensiv auftreten, werden immer stärker, bis sie bei 30° C. ebenso stark als die Linien der Gruppe  $D$  erscheinen, ausserdem treten noch zwei Linien,  $\gamma$  und  $\delta$ , auf. Auch die violetten Linien der Gruppe  $E$ ,  $p$  und  $q$ , vergrößern ihre relative Intensität gegenüber den Linien  $n$ ,  $o$  und  $r$ , während die Linien der Gruppe  $A'$  im rothen Felde abgeschwächt erscheinen (Taf. I, Fig. 3). Bei weiterer Erhöhung der Temperatur tritt nach und nach, namentlich im rothen Felde, ein continuirliches Licht auf, während die Linien ihre scharfen Grenzen verlieren und verwaschen erscheinen. Am meisten verbreitert erscheinen dabei die Linien der Gruppen  $B$ ,  $C'$  und  $D''$  (Taf. I, Fig. 4), weniger jene der Gruppe  $C'''$  und noch weniger die violetten Linien der Gruppe  $E$ , während die rothen Linien von  $A'A''$  stets ihre volle Schärfe behalten. Bei weiterem Erhitzen erscheinen die Linien der Gruppen  $B$ ,  $C'$  und  $D''$  verhältnissmässig weniger verschwommen, indem in der Mitte des verwaschenen Streifens eine schärfere Linie hervortritt

<sup>1</sup> Ciamician, Einfluss der Dichte und Temperatur auf die Spectren von Dämpfen und Gasen. Sitzber. d. kais. Akad. d. Wiss. Bd. 78, Abth. II, Juli 1898.



(Taf. I, Fig. 5). Durch weiteres Erhitzen kann man die Linien nicht viel mehr verbreitern, wohl aber nimmt die Intensität des continuirlichen Spectrums zu, so dass es bei einer Temperatur von  $200^{\circ}$  C. blendend stark wird und alle Linien, mit Ausnahme der rothen, von  $A'$  und  $A''$  überstrahlt. (Ciamician.)

Ciamician's Zeichnungen sind auf eine willkürliche Skala bezogen; er führte keine Wellenlängenmessungen durch, so dass seine Angaben nur schwer mit den anderen Beobachtungen vergleichbar sind.

---

Das Absorptionsspectrum des Bromdampfes wurde von Daniel und Miller,<sup>1</sup> Roscoe und Thorpe,<sup>2</sup> Moser,<sup>3</sup> am ausführlichsten aber von Hasselberg<sup>4</sup> untersucht. Der letztere machte nicht nur die genauesten Wellenlängenmessungen, sondern publicirte auch eine vortreffliche Zeichnung des aus unzähligen feinen Linien bestehenden Absorptionsspectrums. Da diese Zeichnung Bezug auf unsere eigenen Befunde hat, reproduciren wir dieselbe in stark verkleinertem Maassstabe (Lichtdruck) sammt der zugehörigen Skala der Wellenlängen (Taf. II).

Hasselberg beobachtete das Absorptionsspectrum des Bromdampfes bei Zimmertemperatur (das Bromgas war in mit planparallelen Deckplatten verschlossenen Röhren enthalten) mittels eines grossen Gitterapparates und photographirte das Spectrum II. Ordnung, in welchem die Cannellirungen, die man mit Apparaten geringer Dispersion sieht, völlig in Linien aufgelöst erscheinen. Als Lichtquelle diente das Sonnenlicht und Hasselberg benützte die Linien des Sonnenspectrums als Standards für seine Messungen

---

Unsere Versuche wurden mit Plücker'schen Röhren, deren Kugeln 6 cm Durchmesser besaßen und longitudinal aufgestellt waren, durchgeführt. Die Erregung erfolgte mittels des Funkens eines grossen Ruhmkorff'schen Inductoriums ohne Leydener Flaschen. Das Linienspectrum des Broms trat am deutlichsten und schärfsten bei einem Drucke von 8–10 mm hervor. Bei noch geringerem Drucke wurden die Linien wohl schärfer, aber das gesammte Phänomen verlor an Helligkeit, so dass die photographischen Aufnahmen grosse Schwierigkeiten boten. Bei 10–15 mm Druck ist die Helligkeit merklich grösser und die Linien sind noch genügend scharf. Fig. 1, 2 und 4 der beigegebenen heliographischen Tafel sind Reproduktionen von Spectrumphotographien, welche wir bei diesem Drucke herstellten.

Schon bei 15–20 mm Druck beginnen die Verbreiterungserscheinungen der meisten Bromlinien; analog den Beobachtungen beim Chlorspectrum werden auch hier nicht alle Linien im selben Grade von der Verbreiterung ergriffen, sondern manche Linien (bald stärkere, bald schwächere) widerstehen der seitlichen Verbreiterung bei steigendem Drucke besser.

Neben dem Linienspectrum des Broms beobachteten wir besonders bei niederem Drucke, z. B. in unseren Bromröhren von 8–10 mm Druck, ein continuirliches Spectrum, welches namentlich im Violett und zu Anfang des Ultraviolets so lichtstark auftritt, dass es eine intensive Schwärzung der photographischen Platte herbeiführt (siehe Fig. 5 der heliographischen Tafel).

Dieses Leuchten des Bromdampfes unter Aussenden eines continuirlichen Spectrums wird bei  $\lambda = 4300$  deutlich, steigert sich allmählig wachsend bis  $\lambda = 3700$  und weiter ins Ultraviolett. In der Gegend von  $\lambda = 3700$  wird dieses continuirliche Spectrum so enorm hell, dass nur mehr die stärksten Linien des Linienspectrums es übertreffen. Dabei tritt keine Absorptionserscheinung des Linienspectrums durch die selbstleuchtenden Bromdämpfe auf und auch der stark orangegelb gefärbte Bromdampf, welcher die ziemlich grossen Kugelsätze unserer Bromröhren erfüllte, dämpfte das Lichtphänomen nicht merklich. Dieses continuirliche

---

<sup>1</sup> Poggend. Ann. Bd. 28, S. 386.

<sup>2</sup> Philos. Trans. 1877, Bd. 167, S. 209.

<sup>3</sup> Poggend. Ann. Bd. 170, S. 188.

<sup>4</sup> Mém. de l'Acad. de St. Pétersbourg 1878, Bd. 26, Nr. 4. Ferners die ausführliche zweite Abhandlung Hasselberg's »Untersuchung über das Absorptionsspectrum des Broms« (Kongl. Swenska Vetenskaps Academiens Handlingar 1891, Bd. 24, Nr. 3).



Spectrum des Bromdampfes scheint zwischen  $\lambda = 4200$  bis  $\lambda = 4900$  ein Minimum zu haben und dann bei  $\lambda > 4900$  wieder anzusteigen; dies ist aus unserer Spectrumphotographie 4 und 5, Taf. III, ersichtlich.

Bei einem Gasdrucke, welcher unter 8 mm liegt, scheint dieses Phänomen zu verblassen, ebenso bei einem Drucke über 40 mm. Die günstigsten Bedingungen für das Entstehen dieser durch ein continuirliches Spectrum charakterisirten Lichtmassen konnten wir nicht genau feststellen; jedenfalls liegt ein von dem Linienspectrum vollkommen getrenntes Spectralphänomen vor.

Es tritt also beim Brom derselbe Fall ein, von welchem Hittdorf<sup>1</sup> und speciell Kronen<sup>2</sup> betreffs des Jods spricht, nämlich: »Die Röhre leuchtet, ohne dass ihr Inhalt das ausgesandte Licht in bemerkbarer Weise absorbiert; das Leuchten erfolgt also nicht unter den Bedingungen des Kirchhoff'schen Gesetzes.«

Bei einem Drucke von circa 45 mm entsteht in Bromröhren beim Durchschlagen des Funkens (ohne Flaschen) das eigentliche Linienspectrum des Broms unter gleichzeitiger merklicher Verbreiterung der Linien (siehe Fig. 3, Taf. III), Gleichzeitig tritt ein neues Bandenspectrum auf, welches das vorhin genannte Spectrum mit ziemlich grosser Helligkeit durchsetzt, Fig. 3, Taf. III zeigt die heliographische Reproduction dieses von uns aufgefundenen Bandenspectrums. Dasselbe repräsentirt ein drittes Spectrum des Broms und entspricht wahrscheinlich dem normalen Bandenspectrum, wie es z. B. Schwefel, Stickstoff, Quecksilber etc. aufweisen, während beim Chlor bisher ein solches Bandenspectrum nicht aufgefunden werden konnte.

Das Emissionsbandenspectrum des Broms, dessen genauere Identificirung den älteren Spectralanalytikern nicht gelungen war, wurde von uns mit hinlänglicher Deutlichkeit photographirt, so dass wir einige Zonen zum Zwecke von Wellenlängenbestimmungen ausmessen konnten. Die Resultate dieser Messungen sind in nachstehender Tabelle niedergelegt und daneben die Wellenlängen der dunkleren Linien im Absorptionsspectrum des Bromdampfes nach Hasselberg eingetragen.

<i>J</i>	Eder und Valenta helle Linien im Banden- emissionsspectrum des Bromdampfes		Hasselberg dunkle Linien im Absorptionsspectrum des Bromdampfes
I	5593.38		5593.17
I	5592.99		5592.68
I	5592.47		5592.24
I	5592.05		5591.90
I	5591.19		5591.56
I	5590.86	5590.82	5591.10
2	5590.50	5590.52	5590.71
3	5590.20	5590.19	5590.38
4	5589.99	5589.97	5590.16
2	5589.67	5589.67	5589.84
	5589.24		5589.49
	5587.71		5589.05
	5587.44		

Aus dem Vergleiche der beiden Tabellen geht hervor, dass die Spectren sehr ähnlich sind. Einige Liniengruppen, z. B. 5593 bis 5589, sind unzweifelhaft analog, d. h. die leuchtenden Linien des Bandenemissionsspectrums in Plücker'schen Röhren haben ein und dieselbe Wellenlänge, wie die dunklen Linien das Bandenabsorptionsspectrum von Bromdampf.

Eine andere Liniengruppe weist nur theilweise, aber keineswegs vollkommene Identität der Wellenlängen beider Arten des Bandenspectrums auf.

<sup>1</sup> Wiedem. Ann. 1883, Bd. 19, S. 75.

<sup>2</sup> Kronen: Über die Spectren des Jod, Inauguraldissertation Köln 1897, S. 24.



Eder und Valenta		Hasselberg	
helle Linien im Banden- emissionsspectrum des Bromdampfes	<i>i</i>	dunkle Linien im Absorptionsspectrum des Bromdampfes	Anmerkung
5516·91	I	5517·03	
5513·64	1/2	5513·73	
5512·79	1/2	5512·82	
5511·53	1/2	5511·65	
5511·08	I	5511·03	
5510·71	1/2	5510·69	
5510·17	1/2	5510·35	
5509·79	1/2	5509·87	
5509·48	1/2	5509·62	
5509·06	2	5509·06	
5508·71	2	5508·87	
5508·21	I	5508·21	
5507·80	2		
5507·50	2	5507·59	
5506·69	I	5506·88	
5506·21	3	5506·36	
5505·97	2	5505·98	
5505·60	I	5505·75	
5505·24	I	5505·11	
5504·51	I	5504·72	
5504·08	1/2	5504·31	
5503·86	I	5503·90	
5503·46	I	5503·23	
5503·36		5501·46	
einige Linien fehlen		5501·13	
		5500·58	Hauptlinie
5501·59		viele Linien	
5501·26			
5500·82	I		
5500·81	I		
5496·61	I	5496·41	
5496·19	3	5496·01	
5495·71	2	5495·53	
5494·79	2	5494·95	
5494·30	2	5494·30	
5493·72		5493·78	

Es ist somit das von Plücker und Hittdorf vorausgesehene Emissionsbandenspectrum des Bromdampfes durch diese Befunde thatsächlich experimentell als existirend nachgewiesen.

In weitaus höherem Grade charakteristisch für den spectralen Nachweis von Brom ist das Linienspectrum, welches wir von  $\lambda = 3900$  bis  $\lambda = 3684$  mit unserem grossen Concavgitter in der II. Ordnung photographirt und unter dem Mikroskope ausgemessen haben. Als Standard benützten wir die Rowland'schen Eisenlinien mit jenen Werthen, welche ihnen Rowland im Sonnenspectrum zuschreibt.

Die Photographien im rothen und gelben Spectralbezirke nahmen wir im Spectrum I. Ordnung vor. Die Photogramme des Bromspectrum von  $\lambda = 6632$  bis  $\lambda = 5180$  sind von sehr befriedigender Gleichmässigkeit. Die Aufnahmen wurden auf Bromsilbergelatinetrockenplatten durchgeführt, welche wir durch Baden in Farbstofflösungen für die betreffenden Strahlen empfindlich gemacht hatten. Es ist dies wohl die erste gelungene heliographische Wiedergabe dieses schwer zu photographirenden Bezirkes lichtarmer Spectralphänomene im wenig brechbaren Theile.

Die ermittelten Wellenlängen sind in der folgenden Tabelle zusammengestellt:



## Wellenlängenmessungen im Spectrum des Broms.

Eder-Valenta			Ältere Beobachtungen		Eder - Valenta			Ältere Beobachtungen	
$\lambda$	$\iota$	Bemerkung	Salet	Plücker u. Hittdorf	$\lambda$	$\iota$	Bemerkung	Salet	Plücker u. Hittdorf
—	—		6990	—	5425·21	5		5425	5428
—	—		—	6862	5423·01	7		—	5422
6682·83	2		—	—	5395·69	5		—	5391
6632·02	5		6630	6628	—	—		—	5383
6582·52	1		6580	6576	5370·51	2	verbreitet nach Roth	—	—
6560·17	4		6555	6555	—	—	dto.	—	—
6545·00	1/2		—	—	5364·38	3		—	—
6353·07	1		—	—	5360·99	2		—	—
6351·02	10		6356	6357	5345·53	4	dto.	—	—
6204·36	1/2		—	—	5335·30	5		5335	5326
6178·72	2		—	—	5333·49	1		—	—
6170·09	2		—	—	5332·18	10		—	—
6159·60	2		—	—	5330·76	2		—	—
6149·95	10		6165	6158	5304·31	7		—	5299
6142·02	4		—	6151	—	—		5310	5292
6123·49	3		—	6131	5272·89	4		5275	5263
6118·89	4		—	6128	5263·68	4		5265	5250
6097·05	1		—	—	5249·219	3		—	—
5954·3	1/2		—	—	5239·994	2		5240	5225
5950·7	1/2		—	—	5238·472	8		—	—
5940·83	4		—	—	5233·65	2		—	—
5871·97	3		5880	—	5227·911	3		—	5220
5868·40	2		—	5868	—	—		—	5216
5864·55	3		—	—	5199·50	3		—	—
5852·40	5		—	—	5194·075	4	etwas verbreitert	—	—
5833·71	3		—	—	5184·074	4		—	5187
5831·04	7		5840	5827	5182·573	7		—	—
5821·40	3		—	5824	5180·19	2		5185	5180
5794·50	2		—	5792	5174·09	1		—	—
—	—		—	5739	5164·560	5		5165	5168
5719·17	4		5720	5722	5143·626	2		—	5150
5716·5	1/2		—	—	—	—		—	5122
5711·25	4		—	5712	—	—		—	5106
—	—		—	5696	—	—		—	5092
5657·83	4		—	5662	5054·853	4		5060	5054
5643·40	1/2		—	—	5038·962	3	verbreitert	—	5035
5630·3	1		—	—	5020·756	3		—	—
5627·5	1	verbreitet	—	5626	5011·000	1		—	5010
5622·38	1		—	5622	5002·96	1		—	—
5621·95	1		—	—	4987·234	1	kaum sichtbar	—	4990
5600·90	4		5600	5598	4979·950	4	ziemlich scharf	—	4982
5590·15	8		—	—	4959·51	4	verbreitert	—	4960
5588·40	2		—	—	4945·768	3	verschwommen	—	4955
5584·98	1		—	—	4942·21	1	undeutlich	—	—
5560·10	1		—	5566	4930·816	5	ziemlich scharf	4930	4932
5545·91	1		—	5552	4928·966	5	dto.	—	4924
5539·21	1		—	—	4926·758	2	verschwommen	—	—
5536·52	4		—	—	4921·386	3	dto.	—	—
5532·38	1/2		—	—	4921·20	1	dto.	—	—
5529·19	2		5515	5515	4867·935	3	verbreitert	—	4868
5516·87	1		—	—	4866·851	3	dto.	—	—
5511·04	2		—	—	4848·988	6	scharf	—	4852
5508·49	3		—	—	4845·196	3	verbreitert	—	4847
5506·97	8		5000	5502	4838·823	3		—	—
5495·24	7		5495	5492	4834·699	2	verschwommen	—	—
5489·00	6		—	—	4816·900	8	ziemlich scharf	4815	4818
5483·20	2		—	—	4802·544	4	dto.	—	4807
5481·41	2		—	—	4799·794	3	verschwommen	—	—
5480·20	3	verbreitet	—	—	4798·415	3	dto.	—	—
5466·43	5		—	—	4791·989	2	dto.	—	—
5450·28	3		5450	5446	4785·644	10	scharf	4785	4787
5442·55	4		—	—	4780·524	6	dto.	—	4778
5435·30	5		—	5436	4777·30	3	dto.	—	—
5433·49	1		—	—					



Eder - Valenta			Ältere Beobachtungen		Eder - Valenta			Ältere Beobachtungen	
$\lambda$	$\iota$	Bemerkung	Salet	Plücker u. Hittdorf	$\lambda$	$\iota$	Bemerkung	Salet	Plücker u. Hittdorf
4776.605	7	scharf	—	—	4460.39	1	—	—	—
4775.41	3	dto.	—	—	4453.75	1	—	—	—
4774.01	4	dto.	—	—	4441.94	8	verbreitert nach Roth	—	—
4772.91	3	verbreitert	—	4771	4431.13	2	—	—	—
4767.282	8	scharf	—	—	4430.07	2	—	—	—
4766.27	5	verbreitert nach Roth	—	—	4425.32	5	scharf	—	—
4753.05	1	—	—	—	4423.22	2	—	—	—
4702.47	3	verbreitert	—	—	4412.66	1	—	—	—
4750.10	2	total verbreitert	—	—	4407.80	4	—	—	—
4744.53	3	verbreitert	—	4746	4405.18	1	—	—	—
4742.87	8	scharf	—	4736	4399.87	3	—	—	—
4735.67	5	verbreitert nach Roth	—	4730	4396.55	5	—	—	—
4728.90	2	—	—	—	4395.10	4	—	—	—
4728.49	4	—	—	—	4391.76	3	—	—	—
4720.56	1	dto.	4720	4720	4386.83	2	verschwommen	—	—
4719.95	8	—	—	—	4378.11	4	verbreitert	—	—
4717.57	3	etwas verbreitert	—	—	4377.40	2	ziemlich scharf	—	—
4714.66	1	ganz verschwommen	—	—	4372.20	3	verschwommen	—	—
4711.32	1	—	—	—	4365.76	8	scharf	4367	4365
4708.16	1	—	—	—	4365.31	4	dto.	—	—
4705.00	10	verbreitert	4705	4706	4297.27	3	dto.	—	—
4701.93	2	unscharf	—	—	4291.54	6	—	4287	4288
4698.77	2	dto.	—	4695	4236.998	6	dto.	—	—
4696.59	2	dto.	—	—	4230.101	4	—	4230	4241
4693.48	8	ziemlich scharf	—	—	4223.996	8	—	—	4228
4692.51	3	etwas verbreitert	—	—	4202.64	4	dto.	—	4198
4691.42	3	verbreitert	—	—	4193.62	6	—	—	—
4678.89	8	etwas verbreitert	4675	4680	4193.34	2	—	—	—
4675.82	2	ganz verbreitert	—	4676	4179.76	8	—	4180	4181
4673.56	2	ziemlich scharf	—	—	4175.92	5	dto.	—	—
4672.750	6	dto.	—	—	4175.77	1	sehr schwach	—	—
4666.42	2	—	—	—	4160.14	2	ziemlich scharf	—	—
4652.18	6	scharf	—	—	4157.54	2	—	—	—
4644.17	2	unscharf	—	4644	4157.23	3	—	—	—
4643.74	4	ziemlich scharf	—	—	4151.52	3	scharf	—	—
4642.35	3	verbreitert	—	—	4144.12	2	dto.	—	—
4629.66	3	dto.	—	—	4140.37	6	dto.	—	4142
4622.99	8	ziemlich scharf	4620	4625	4138.78	3	verbreitert	—	—
4614.86	6	dto.	—	—	4135.79	5	scharf	—	—
4605.90	2	bandartig verbreitert	—	—	4117.58	3	etwas verbreitert	—	—
4601.63	5	verschwommen	—	—	4110.12	4	—	—	—
4597.14	3	dto.	—	—	4109.96	1	—	—	—
4575.95	6	verbreitert nach Roth	—	—	4106.52	3	scharf	—	—
4558.21	4	verschwommen	—	—	4105.56	2	dto.	—	—
4543.12	8	scharf	4542	4543	4102.62	4	—	—	—
4542.67	2	verschwommen	—	—	4096.27	3	stark verbreitert	—	—
4538.95	5	verbreitert	—	—	4090.74	3	scharf	—	—
4530.21	1	—	—	—	4089.29	3	etwas verbreitert	3980	—
4530.00	5	scharf	—	—	4075.66	4	verbreitert	—	—
4529.78	2	dto.	—	—	4037.486	2	scharf	—	—
4525.82	8	einseitig nach Roth	—	—	4036.538	4	ziemlich scharf	—	—
4513.99	1	verbreitert	—	—	4024.19	5	verbreitert nach Roth	—	—
4513.67	5	scharf	—	—	4022.04	2	—	—	—
4508.29	2	verschwommen	—	—	4021.95	1	—	—	—
4490.68	5	scharf	4485	—	4012.70	3	scharf	—	—
4477.96	10	scharf, einseitig	—	—	4008.93	6	verbreitert nach Roth	—	—
4472.83	8	verbreitert nach Roth	—	—	4007.45	5	scharf	—	—
4471.99	1	dto.	—	—	4005.69	2	dto.	—	—
4470.22	1	—	—	—	4001.60	3	mässig verbreitert	—	—
4466.42	1	verschwommen	—	—	3999.77	4	dto.	—	—
4465.99	1	dto.	—	—	3997.27	4	dto.	—	—
4460.92	1	—	—	—	3992.51	4	scharf	—	—
					3991.485	3	dto.	—	—
					3986.666	8	dto.	—	—
					3980.585	10	etwas verschwommen	—	—
					3980.151	5	scharf	—	—



Eder - Valenta			Eder - Valenta		
$\lambda$	$\tau$	Bemerkung	$\lambda$	$\tau$	Bemerkung
3968·804	5	scharf	3871·377	6	scharf
3955·504	8	mässig nach Roth verbreitert	3857·363	6	ziemlich scharf
3950·745	7	dto.	3840·775	3	etwas verbreitert nach Roth
3939·862	5	dto.	3834·861	6	verbreitert nach Roth
3938·801	5	dto.	3829·920	3	stark verschwommen
3935·310	6	dto.	3828·640	3	
3929·726	6	gleichmässig ver- breitert	3815·771	4	scharf
3924·239	8	mässig ver- breitert nach Roth	3811·55	3	
3923·506	6		3801·09	1	dto.
3920·838	6	verbreitert nach Roth	3794·153	4	dto.
3919·770	6	ziemlich scharf	3772·727	4	verbreitert
3917·960	3	scharf	3770·410	2	dto.
3914·419	9		3753·87	4	dto.
3914·270	—		3740·66	5	dto.
3901·418	4		3737·82	2	dto.
3891·790	8	dto.	3735·91	1	
3888·665	4	verbreitert nach Roth	3725·54	1	
			3714·45	4	
			3699·595	2	
			3684·84	3	

Wien, im Juni 1899.

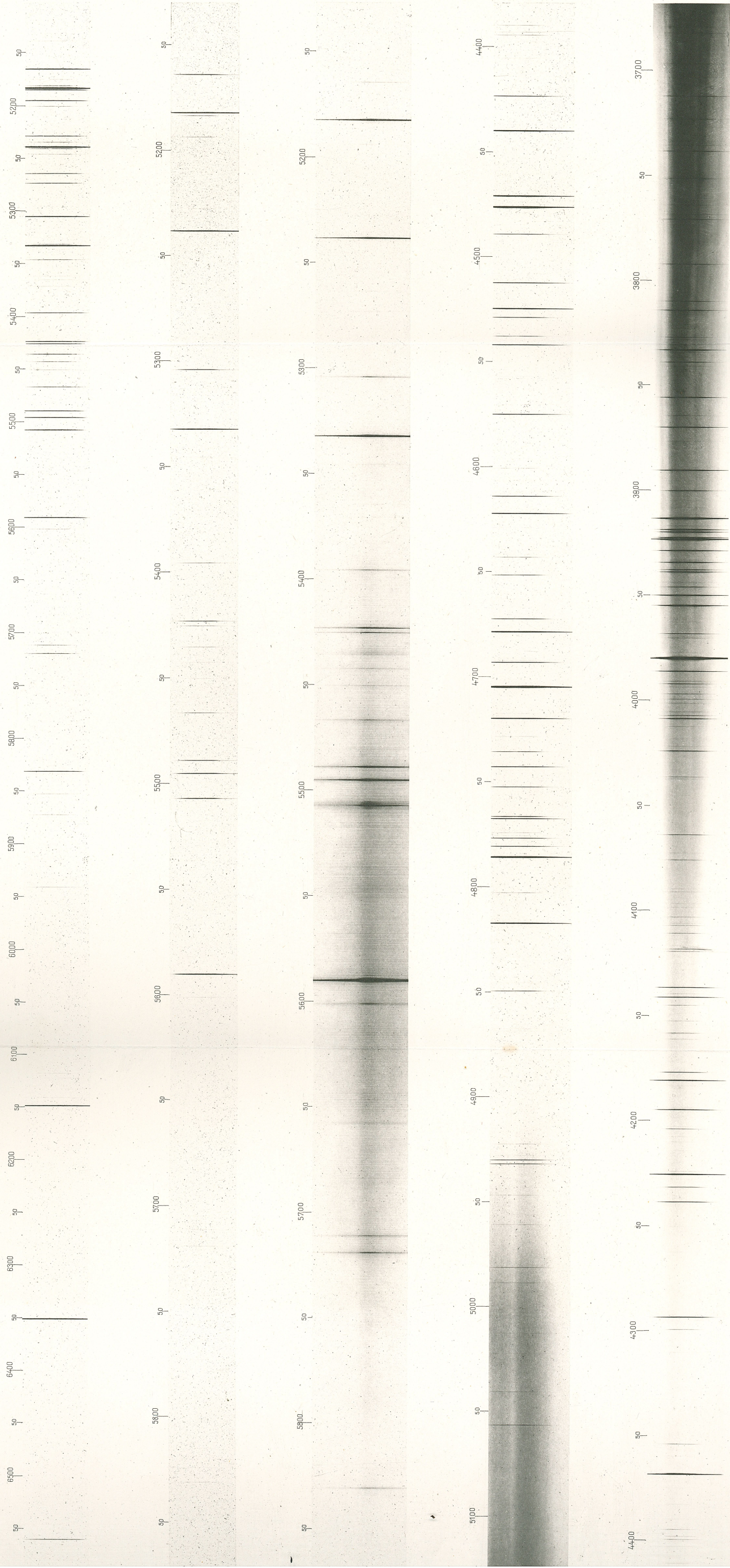
Photochemisches Laboratorium

der

k. k. Graphischen Lehr- und Versuchsanstalt in Wien.







Emissionsspectrum des Brom von J. M. Eder und E. Valenta.

Fig. 1. Rother bis gelbgrüner Bezirk des Bromspectrum; Druck circa 15 mm (Spectrum 1. Ordnung).

Fig. 2. Gelber bis gelbgrüner Bezirk; Druck circa 15 mm (Spectrum 2. Ordnung).

Fig. 3. Gelber bis grüngrüner Bezirk; Druck circa 45 mm. Linienspectrum, gemischt mit Bandenspectrum (2. Ordnung).

Fig. 4. Grüner bis blauvioletter Bezirk; Druck circa 15 mm (2. Ordnung).

Fig. 5. Blauer Bezirk bis Beginn des Ultraviolett; Druck circa 8 mm (2. Ordnung).



J. M. Eder und E. Valenta: Spectrum des Brom.

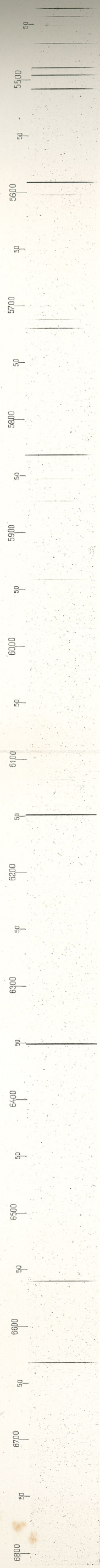


Fig. 1.

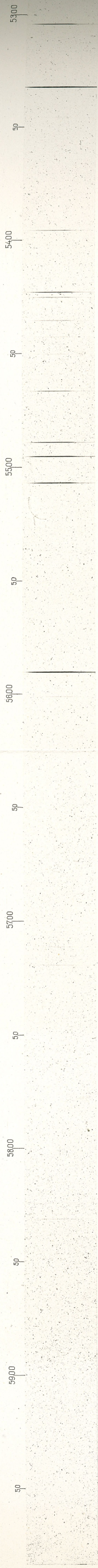


Fig. 2.

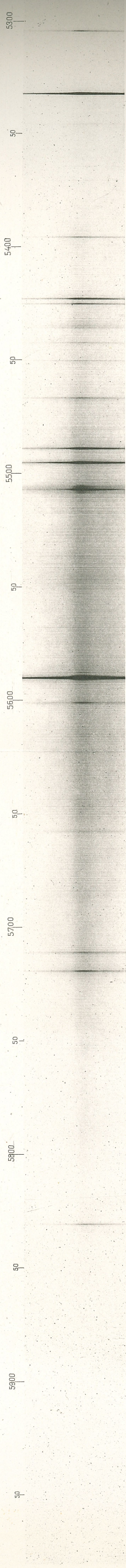


Fig. 3.

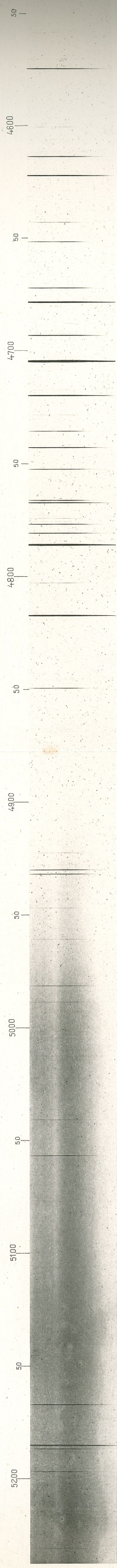


Fig. 4.

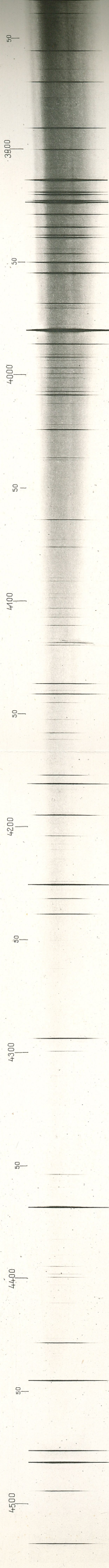


Fig. 5.

Emissionsspectrum des Brom von J. M. Eder und E. Valenta.

Fig. 1. Rother bis gelbgrüner Bezirk des Bromspectrum; Druck circa 15 mm (Spectrum 1. Ordnung).

Fig. 2. Gelber bis gelbgrüner Bezirk; Druck circa 15 mm (Spectrum 2. Ordnung).

Fig. 3. Gelber bis grüner Bezirk; Druck circa 45 mm. Linienspectrum, gemischt mit Bandenspectrum (2. Ordnung).

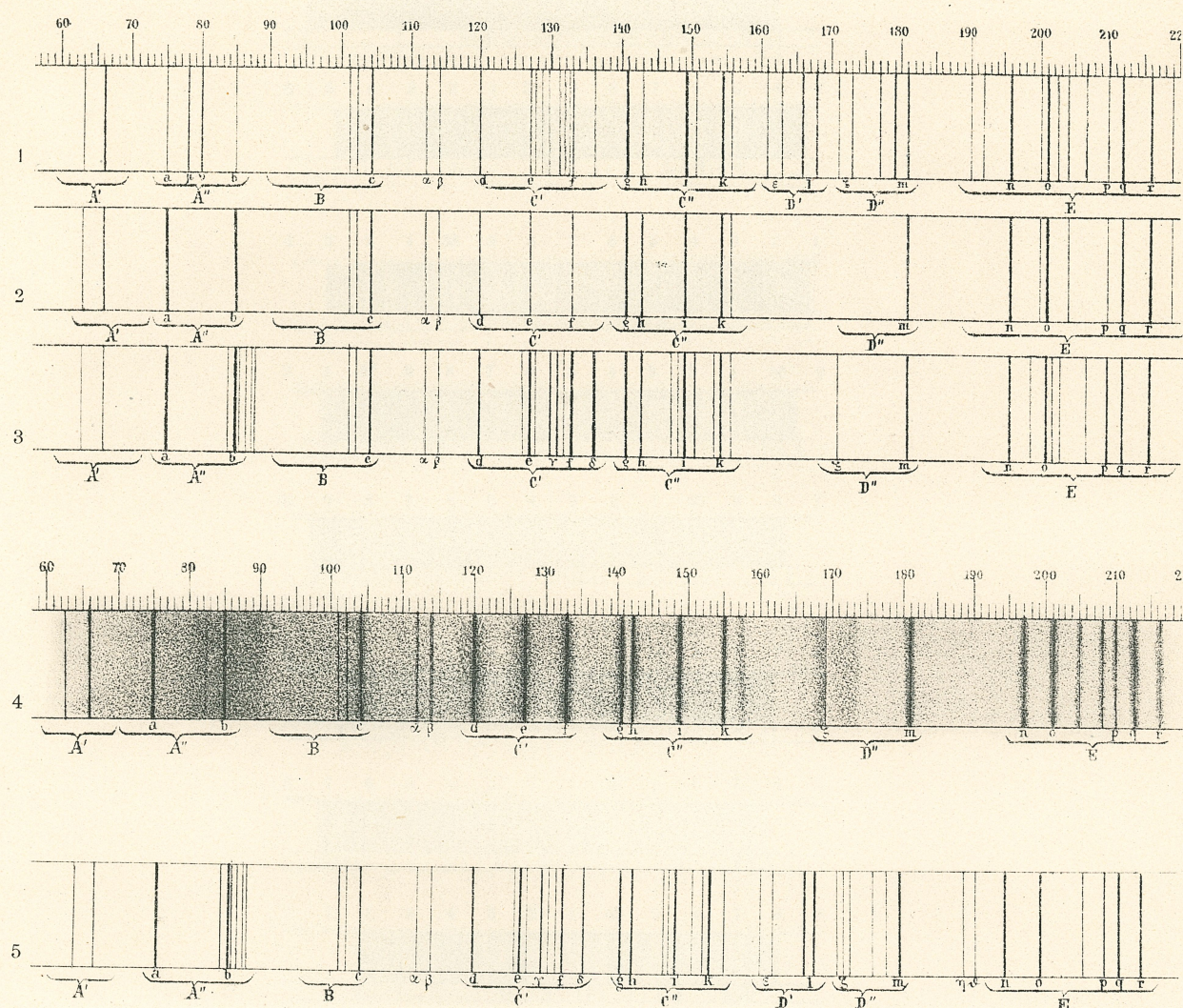
Fig. 4. Gelber bis blaugrüner Bezirk; Druck circa 15 mm (2. Ordnung).

Fig. 5. Blauer Bezirk bis Beginn des Ultraviolett; Druck circa 8 mm (2. Ordnung).



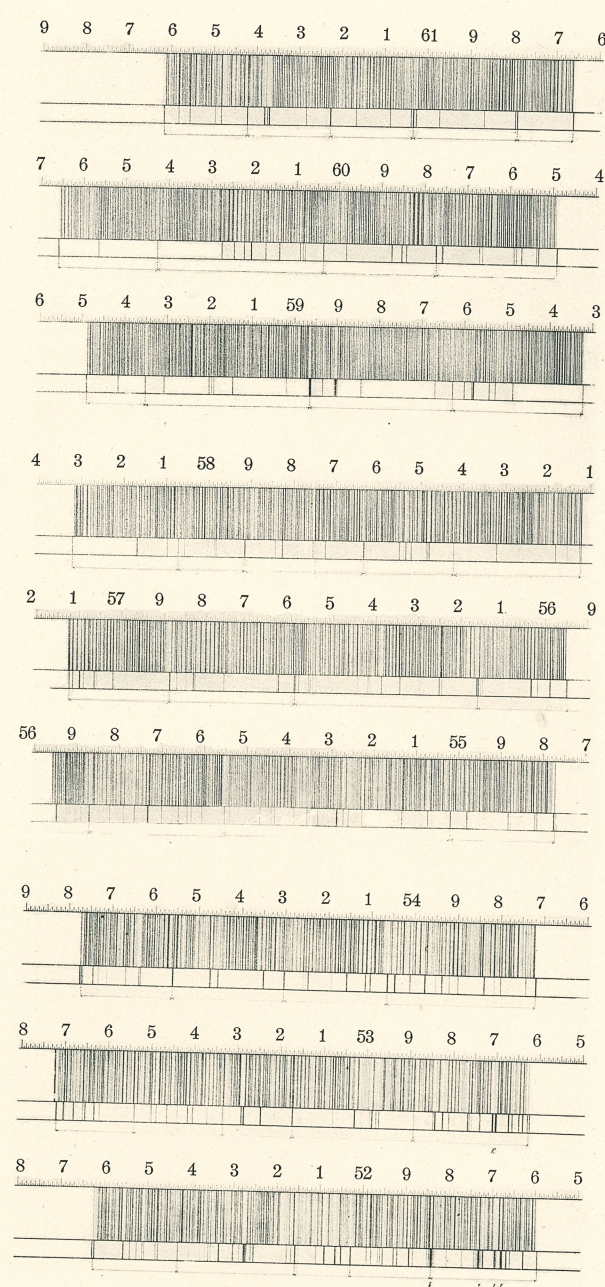
## Darstellung des Spectrums des Brom bei verschiedenem Drucke.

Nach einer lithographischen Zeichnung Ciamician's, 1878.



1. Brom bei stärkster Verdünnung. — 2. Bei Druck von über 10 mm. — 3. Bei etwas grösserem Drucke. —  
 4. Starker Dampfdruck bei 50° C. — 5. Vollständiges Spectrum des Brom nach Ciamician.





Absorptionsspectrum des Brom nach Hasselberg.

Denkschriften der kais. Akad. d. Wiss. in Wien, mathem.-naturw. Classe, LXVIII. Bd., 1899.



